



بِلَّوْسِي آبخوان محدوده‌ی مزرعه‌ی پژوهشی دانشگاه آزاد اسلامی واحد بهبهان به (وش مقاومت ویژه ژئوالکتریکی)

هادی طهماسبی نژاد

عضو هیأت علمی دانشگاه آزاد اسلامی واحد بهبهان، hdtahmasbi@yahoo.com

پیکیده

روش مقاومت ویژه ژئوالکتریکی از نوع سونداز کتریکی قائم با آرایه شلومبرژه کاربردی ترین روش در مطالعات آب زیرزمینی می‌باشد. به منظور بررسی آبخوان محدوده مزرعه‌ی پژوهشی دانشگاه آزاد اسلامی واقع در ۵ کیلومتری شرق شهر بهبهان، ۱۲ سونداز قائم ژئوالکتریکی در طول چهار پروفیل برداشت گردید. برداش داده‌های صحراوی با در نظر گرفتن لایه چاه‌های منطقه و اطلاعات زمین‌شناسی توسط نرم افزار روسی IPI7.63 صورت گرفت و به کمک آن عمق و ضخامت لایه‌های زیرسطحی، نقشه‌های هم مقاومت ویژه ظاهری، مقاطع ژئوالکتریک، نقشه‌های هم عمق و هم مقاومت لایه‌ی آبدار و سنگ کف و نقشه هم مقاومت ترسیم شد.

بر اساس مدل ژئوالکتریکی در این منطقه چهار لایه اصلی شامل آبرفت خشک با مقاومت الکتریکی متوسط حدود ۳۵۰ اهم متر و ضخامت متوسط ۱۸/۸ متر، لایه‌ی آبدار با مقاومت الکتریکی متوسط حدود ۲/۳ اهم متر و ضخامت متوسط حدود ۸/۶ متر و لایه‌ی سنگ کف با مقاومت الکتریکی متوسط حدود ۴۲ اهم متر (در اکثر نقاط بین ۶/۸ تا ۳۷ اهم متر) و عمق متوسط حدود ۲۲ مترویک لایه‌ی کم مقاومت در زیرسنگ کف با مقاومت الکتریکی متوسط حدود ۱/۲ اهم متر و عمق متوسط ۶۳ متر بدست آمد. از نقشه‌ی هم مقاومت عرضی لایه آبدار که با قابلیت انتقال آبخوان مناسب است برای تعیین مناطق با پتانسیل آبده‌ی بالا در آبخوان و تعیین بهترین محل‌ها برای حفر چاه استفاده گردیده است.

واژه‌های کلیدی: آرایه شلومبرژه، اکتشاف آب زیرزمینی، سونداز الکتریکی قائم، مطالعات ژئوالکتریک.

Evaluation of the aquifer of research farm of Islamic Azad University of Behbahan using geoelctric resistivity method

H. Tahmasbi Nejad

Department of Geology, Islamic Azad University, Behbahan Branch, Behbahan, I.R. Iran

Abstract

Geoelectric resistivity method as the vertical electrical soundings using Schlumberger configuration is the most applied method in hydrogeology survey. In this research, 12 vertical electrical soundings along 4 profiles were carried out in order to evaluate the aquifer of the research farm of Islamic Azad University of Behbahan located at around 5 kilometers from the east of Behbahan city. The interpretation of the field data was carried out using the Russian software IPI7.63 with consideration of well logs and geology data of the area; so the depth and thickness of the subsurface layers of the area were determined. Also, the isoapparent resistivity maps, geoelectric sections, maps of the isodepth and isoresistivity of aquifer and bedrock as well as the isotransverse resistance map have been drawn. Based on geoelectric model, in this area, 4 main layers are obtained involving dry alluvium with the average resistivity about 350 ohm-m and the average thickness of 18.8m, aquifer with the average resistivity about 3.3 ohm-m and the average thickness of 8.6 m, bedrock layer with the average resistivity about 42 ohm-m (between 6.8 to 37 ohm-m in most parts of area) and the average depth of 27 m and a low resistivity below the bedrock with the average resistivity about 2.1 ohm-m and the average depth of 63m. The transverse resistance map of aquifer that correlate to transmissivity is used to determine zones with high yield potential of the aquifer and the best location for well drilling in the area.

Key words: Geoelectrical surveys, Ground water exploration, Schlumberger array, Vertical electrical sounding.

قابلیت انتقال لایه‌ی آبدار (Kosinski & Kelly 1981) و آبده‌ی ویژه (Frohlich & Kelly 1988).

با توجه به توضیحات بالا، به منظور بررسی آبخوان مزرعه‌ی پژوهشی دانشگاه آزاد اسلامی بهبهان و تعیین مناطق پتانسیل آبداری بالا، سونداز الکتریکی قائم با آرایه‌ی شلومبرژه در طول ۴ پروفیل در این منطقه برداشت گردیده است. در جدول ۱ نام سونداز، پروفیل آن‌ها و موقعیت جغرافیایی هر سونداز ارائه شده است. این سوندازها با حداقل طول خط جریان ۱۰۰۰ متر (Terrameter SAS1000 AB/2<500m) توسط دستگاه ژئوالکتریک جدول ۱- مشخصات سوندازها و پروفیل‌ها

۱- مقدمه

سونداز الکتریکی قائم (VES, Vertical Electric Sounding) یکی از روش‌های مرسوم ژئوالکتریکی بوده که در آن تغییرات عمودی مقاومت الکتریکی سنجیده می‌شود (Heilan 1940). در این روش، جریان الکتریسیته وارد زمین گردیده و میدان پتانسیل حاصل اندازه‌گیری می‌شود و به این ترتیب مقاومت الکتریکی ظاهری لایه‌ها محاسبه می‌گردد. از ترسیم مقادیر مقاومت الکتریکی ظاهری در برابر طول‌های مختلف خط جریان، منحنی‌های سونداز ژئوالکتریک، به دست می‌آید. با تفسیر این منحنی‌ها، می‌توان لایه‌های مختلف را تفکیک کرد و مقدار عمق هر لایه و مقاومت ویژه حقیقی آن را مشخص نمود.

روش سونداز ژئوالکتریکی قائم در مطالعه‌ی هیدرولوژی حوضه‌های رسوی مناسب‌تر است (Kelly & Stanislav 1993). وجود آب درین لایه‌های زمین‌شناسی سبب کاهش شدید مقاومت الکتریکی می‌گردد، بنابراین تفاوت فاحشی بین مقاومت ویژه لایه‌ی آبدار و لایه‌ی خشک وجود دارد و این عامل باعث گردیده از روش مقاومت ویژه برای تشخیص لایه‌ای آبدار به خوبی استفاده گردد.

همچنین از میان آرایش‌های مختلفی که برای روش سونداز ژئوالکتریکی قائم استفاده می‌شوند، آرایش شلومبرژه در اکتشاف و ارزیابی آب‌های زیرزمینی مناسب‌تر است (Zohdy et al. 1974). این آرایش به عنوان عمومی‌ترین آرایش در مطالعات ژئوالکتریکی داشت محسوب می‌شود (Ayers 1990). در آرایه‌ی شلومبرژه فاصله‌ی بین الکترودهای جریان افزایش می‌یابد، در حالی که فاصله‌ی الکترودهای پتانسیل تغییر چندانی نمی‌کند. هر چه فاصله‌ی الکترودهای جریان افزایش یابد، عمق نفوذ جریان نیز افزایش می‌یابد و لایه‌های عمیق‌تری بر مقدار مقاومت ویژه ظاهری اندازه‌گیری شده تأثیر می‌گذارد (Apparao & Rao 1974). البته به طور کلی در این روش عمق بررسی کم است و فقط لایه‌های کم عمق مورد ارزیابی قرار می‌گیرند (Danielsen et al. 2007).

روش سونداز ژئوالکتریکی قائم کاربردهای زیادی در مطالعات آب زیرزمینی دارد که برخی از آن‌ها عبارتند از: تعیین عمق، ضخامت و محدوده‌ی آبخوان (Bello & Makinde 2007, Omosuyi et al. 2007)، تعیین مناطق با پتانسیل آبداری بالا در آبخوان (Oseji et al. 2005)، تعیین سطح برخورد آب شور و شیرین (Khalil 2006), تعیین مناطق کارستیک (Akaolisa 1992), آنالیز آب زیرزمینی (El-Waheidi et al. 1976, Park et al. 2007)، اکتشافات ژئوترمال (El-Qady 2006)، بررسی ساختارهای تکتونیکی (Caglara & Duvarci 2001)، بررسی سیستم شکستگی در مناطق کارستیک (Szalali et al. 2005)، تخلخل لایه‌ی آبدار (1978)، مقدار آب لایه‌ی آبدار (Jackson et al. 1985), هدایت هیدرولیکی لایه‌ی آبدار (Asfahan 2007, Yadav 1995)،

نام پروفیل	نام سونداز	طول جغرافیایی	عرض جغرافیایی
۱	A	۴۳۶۸۸۱	۳۳۸۰۹۵۰
	B	۴۳۶۹۶۲	۳۳۸۰۸۰۵۵
	C	۴۳۶۷۳۱	۳۳۸۰۷۴۸۶
	D	۴۳۶۶۲۲	۳۳۸۰۷۶۲۹
	E	۴۳۶۷۲۲	۳۳۸۰۷۴۷۲
	F	۴۳۶۹۵۳	۳۳۸۰۷۲۸۷
	G	۴۳۶۷۲۲	۳۳۸۰۵۱۴۵
	H	۴۳۶۰۵۷	۳۳۸۰۵۴۷۸
	I	۴۳۶۳۶۰	۳۳۸۰۵۴۱۱
	J	۴۳۶۵۶۴	۳۳۸۰۵۴۰۰
	K	۴۳۶۱۰۰	۳۳۸۰۵۲۸۰
	L	۴۳۶۶۰۹	۳۳۸۰۵۱۶۱

منطقه‌ی مورد مطالعه (مزرعه‌ی پژوهشی دانشگاه آزاد اسلامی بهبهان) در فاصله‌ی حدود ۵ کیلومتری شرق بهبهان در استان خوزستان قرار دارد. راه دسترسی به آن جاده‌ی بهبهان به شیراز و سپس جاده‌ی فرعی منتهی به کوه‌های خاییز می‌باشد. این منطقه از نظر آب و هوایی، نیمه بیابانی و نیمه خشک و از نظر زمین‌شناسی، بخشی از زون چین خورده‌ی زاگرس باروند شمال غرب-جنوب شرق است. واحدهای سنجی- چینه‌ای منطقه از قدیم به جدید عبارتند از: سازندهای شیل گوربی، شیل پابده، آهک آسماری، مارن میشان، گچ گچساران، آواری آغارجاری و کنگلومرات بختیاری. سازند گوربی و پابده به دلیل لیتولوژی شیلی که مقاومت اندکی در برابر فرسایش دارد، نقاط فرورفتگی مابین سازندهای مقاوم‌تر یعنی سازندهای آهکی آسماری را تشکیل می‌دهند. سازند آسماری با حفره‌های کارستی و درزهای فراوان مرتفع‌ترین نقاط منطقه را تشکیل می‌دهد. تپه ماهورهای سازند تبخیری گچساران که روی آسماری قرار گرفته به دلیل مقاومت کم در برابر عوامل فرسایش کم ارتفاع‌ترین نقاط منطقه را تشکیل می‌دهند. آب‌های جاری به دلیل گچ و نمک شسته شده از این سازند تلخ و سور شده‌اند.

حلقه چاه بهره‌برداری در منطقه قرار دارد و با توجه به وسعت آن (حدود ۵۰ هکتار) نیاز به حفر چاههای جدید خصوصاً در بخش جنوب شرقی آن

علامت و عمق آب در هر چاه در پایین علامت دیده می‌شود.

۲- منحنی‌های هم مقاومت ویژه‌ی ظاهری

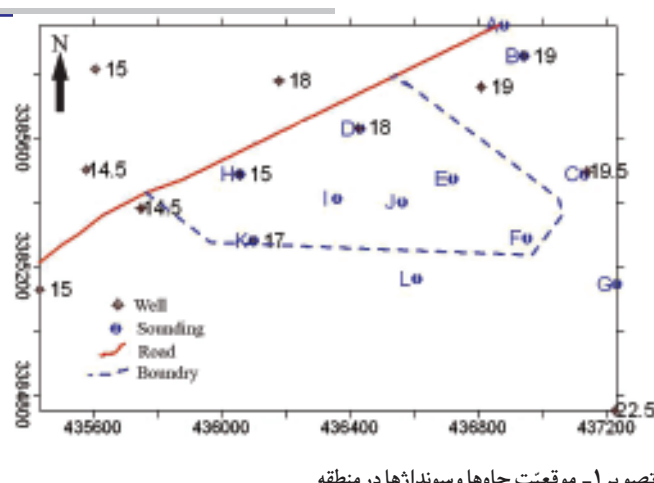
این منحنی‌ها توزیع مقاومت ویژه‌ی ظاهری را در سطح دشت در مقابل فاصله‌ی الکترودهای جریان نشان می‌دهند. هر کدام از این منحنی‌ها نمایانگر عمق خاصی از دشت بوده که با توجه به عمق نفوذ جریان در آبخوان مورد مطالعه، تقریباً برابر $AB/4$ در نظر گرفته شده است.

تصویر ۲ منحنی هم مقاومت ویژه‌ی ظاهری $AB=80\text{m}$ که بیان کننده‌ی عمق حدود ۲۰ متر بوده و تقریباً نمایشگر لایه‌ی آبدار در کل آبخوان است را نشان می‌دهد.

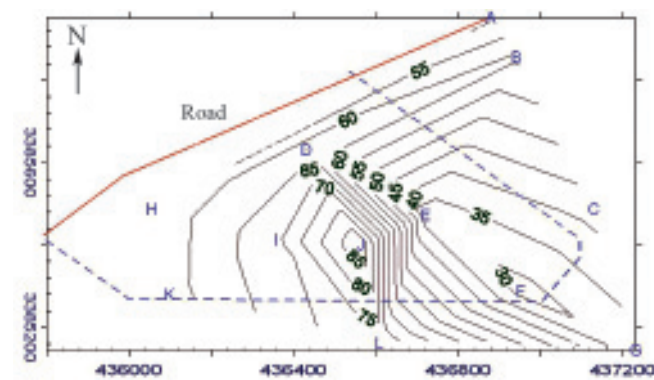
به طور کلی مقادیر مقاومت الکتریکی ظاهری در منحنی‌های هم مقاومت ویژه‌ی ظاهری با طول خط جریان کمتر، که نمایشگر لایه‌ی سطحی آبرفت خشک می‌باشد، بیشتر از مقادیر منحنی $AB=80\text{m}$ که نمایشگر لایه‌ی آبدار است، می‌باشد، زیرا مقاومت الکتریکی کلی یک سازند هم به خواص رسوب و هم به خواص آب بین منفذی وابسته است. در حقیقت هدایت جریان الکتریکی هم از طریق سطح مؤثر دانه‌ها و رسوبات انجام می‌پذیرد (هدایت سطحی) و هم از طریق یون‌های موجود در آب (هدایت کلکولیتی) (Kosinski & Kelly 1981). بنابراین در منحنی‌های هم مقاومت ظاهری با طول خط جریان کمتر، که بیشتر جریان از آبرفت خشک عبور می‌کند، جریان الکتریکی عمدتاً به وسیله‌ی هدایت از سطح دانه‌ها کنترل می‌شود و دارای مقاومت الکتریکی بالایی است، اما در منحنی هم مقاومت ظاهری $AB=80\text{m}$ که جریان الکتریکی در لایه‌ی آبدار نفوذ می‌کند، آب نقش اساسی در هدایت جریان الکتریکی پیدا کرده و باعث کاهش مقاومت ویژه‌ی ظاهری می‌شود (Huntley 1980).

همچنین در این منحنی از جنوب شرق به سمت شمال و شرق منطقه خصوصاً در مرکز آبخوان (منطبق بر سوندazer J) مقادیر مقاومت الکتریکی ظاهری افزایش می‌یابد. این امر می‌تواند به دلیل درشت دانه-ترشدن رسوبات در این ناحیه باشد.

به طور کلی رسوبات دانه درشت مقاومت الکتریکی بیشتر و رسوبات

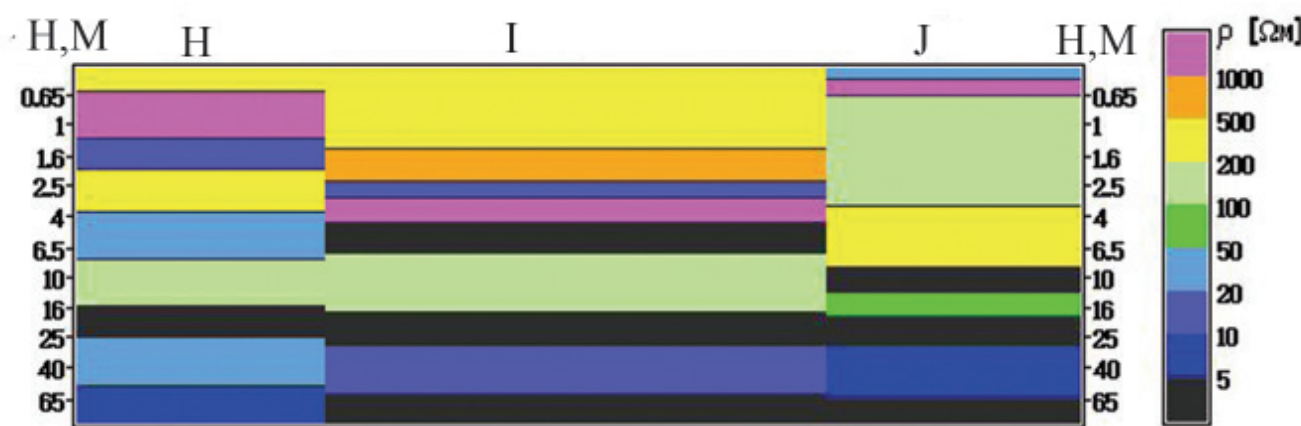


تصویر ۱- موقعیت چاه‌ها و سوندazerها در منطقه

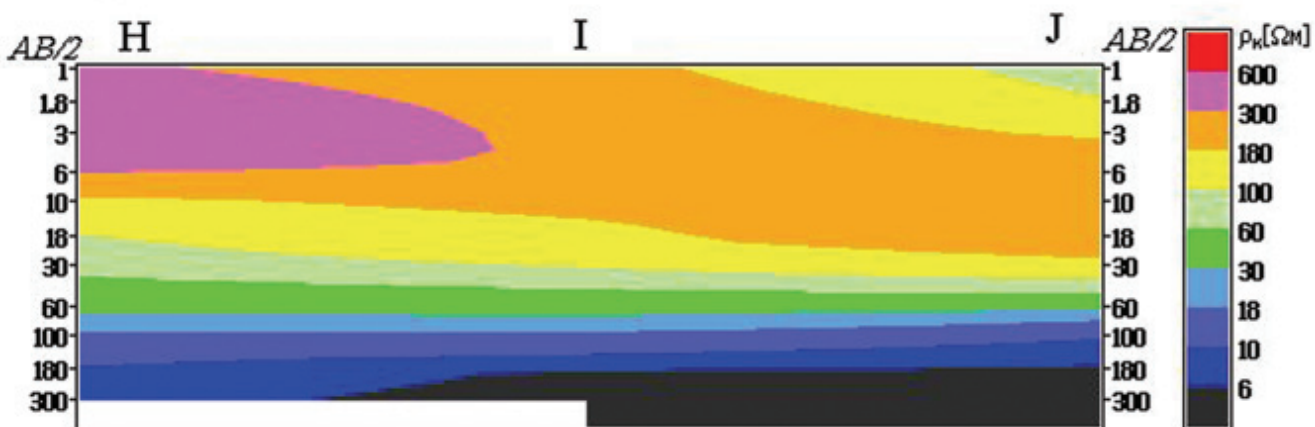


تصویر ۲- منحنی هم مقاومت ویژه‌ی ظاهری $AB=80\text{m}$

می‌باشد. یکی از اهداف اصلی این مطالعات نیز تعیین بهترین محل حفر چاه‌های جدید در این منطقه است. به منظور کمک به تفسیر منحنی‌های سوندazer الکتریکی آبخوان لازم است کلیه‌ی اطلاعات زمین‌شناسی و آب‌های زیرزمینی منطقه جمع آوری گردد (Yang & Lee 1998). به همین دلیل موقعیت جغرافیایی چاه‌ها، عمق آب چاه، میزان تقریبی هدایت الکتریکی آب و آبدهی چاه، عمق حفاری و عمق سنگ‌کف، نوع خاک لایه‌ی آبدار و لایه‌ی خشک و سایر اطلاعات تا حد امکان جمع آوری گردید. در تصویر ۱۱ چاه موجود در محدوده‌ی مورد مطالعه به همراه عمق آب و موقعیت ۱۲ سوندazer نمایش داده شده است. نام سوندazer در سمت چپ



تصویر ۳- شبیه مقطع ژئوالکتریک پروفیل سه



تصویر ۴- مقطع ژئوالکتریک پروفیل سه

نشان می‌دهد که عبارتنداز:

- ۱- لایه‌ی سطحی و آبرفت خشک با مقاومت الکتریکی متغیر: مقاومت الکتریکی این لایه به شدت تحت تأثیر اندازه‌ی دانه‌ها، آرایش دانه‌ها، جورشدگی دانه‌ها، نوع سیمانی شدن و حتی دمای خاک قرار دارد.
- ۲- لایه‌ی آبدار با مقاومت الکتریکی بین حدود ۰/۶ تا ۶ اهم متر: مقاومت الکتریکی در لایه‌ی آبدار تابعی است از تخلخل، مقاومت الکتریکی مایع، مقاومت خاک یا سنگ، هدایت سطحی سنگ یا خاک و طول مسیر جریان و مقدار آب (Kalinski et al. 1993). طول مسیر جریان خود به طور مستقیم از شکل و قطر دانه‌ها، جورشدگی دانه‌ها، نوع آرایش و درجه‌ی سیمانی شدن بافت رسوب تبعیت می‌کند (Kwader 1985). مقاومت آب نیز به شوری و درجه حرارت وابسته است. هر چه دمای آب بالاتر و شوری آن بیشتر باشد، مقاومت الکتریکی آن کمتر می‌شود (Yadav & Abolfazli 1998).

در رسوبات فاقد رس که با سیالات بسیار هادی، اشباع شده‌اند هدایت سطحی دانه مهم نبوده و فرض بر این است که الکتریسته از میان فضای خالی و از طریق سیال هدایت می‌شود ولی در سازندگان شیلی یا رسی و اشباع از آب شیرین هدایت الکتریکی بیشتر از طریق هدایت سطحی دانه صورت می‌گیرد (Frohlich & Parke 1989). در آبخوان مورد مطالعه با توجه به دانه‌ریز بودن رسوبات تشکیل دهنده‌ی آبخوان هدایت الکتریکی عمده‌ای از طریق هدایت سطحی رسوبات آبخوان صورت می‌گیرد و علت اصلی کم بودن مقاومت الکتریکی در این لایه ریزدانه بودن رسوبات آن است.

۳- لایه‌ی سنگ کف مارنی با مقاومت الکتریکی حدود ۶/۳۷ تا ۳۷ اهم متر در بیشتر نقاط داشت: جنس سنگ کف با توجه به جنس رخنمون‌ها، لاگ چاههای منطقه و نیز مقاومت الکتریکی حاصل از تفسیر سوندazها بیان گردیده است. اختلاف در مقاومت الکتریکی سنگ کف مارنی منطقه به میزان هوازدگی و شکستگی و نفوذ آب در آن برمی‌گردد.

۴- لایه‌ی کم مقاومت زیرین با مقاومت الکتریکی کمتر از دو اهم متر در بیشتر نقاط داشت: با توجه به این که هیچ گمانه‌ای تا عمق برخورد به این لایه حفر

دانه‌ریز مقاومت الکتریکی کمتری دارند. کم بودن مقاومت الکتریکی در رسوبات دانه‌ریز به سه دلیل است: تمایل به ترکیب با آب، جذب کاتیون‌ها بر روی سطح خود و یونیزه شدن و آزاد کردن یون‌های آزاد (Mooney & Harold 1980).

۳- شبیه مقاطع ژئوالکتریک (Geoelectrical Psedosections)

شبیه مقاطع ژئوالکتریک پروفیل‌ها توزیع مقاومت الکتریکی ظاهری را در طول پروفیل بر اساس عمق و طول کترودهای جریان نشان می‌دهند. تصویر ۳ شبیه مقطع ژئوالکتریک پروفیل شماره‌ی سه (شامل سوندazهای J, I, H) را به عنوان نمونه نشان می‌دهد.

از مقایسه شبیه مقاطع نتایج ذیل به دست آمده است:

۱- در دید اوکلا کاهش آشکار توزیع مقاومت ظاهری به سمت اعمق بیشتر در تمام شبیه مقاطع قابل مشاهده است که این امر می‌تواند تحت تأثیر عوامل ذیل باشد:

- الف) کاهش اندازه‌ی دانه‌ی رسوبات در مورد هدایت جریان الکتریکی از طریق هدایت سطحی

ب) وجود لایه‌ی آبدار با مقاومت الکتریکی پایین به دلیل هدایت جریان الکتریکی از طریق هدایت الکترولیتی

- ج) وجود یک لایه با مقاومت الکتریکی بسیار پایین در زیر سنگ کف نسبتاً مقاوم آبخوان

۲- تقریباً در تمام شبیه مقاطع ژئوالکتریک، سوندazهای شمالی پروفیل‌ها دارای مقاومت الکتریکی ظاهری بیشتری در خطوط جریان با طول کمتر (که بیشتر تحت تأثیر خاک سطحی قرار دارد) هستند که به دلیل درشت دانه بودن رسوبات سطحی در این نقاط می‌باشد.

۴- تفسیر منحنی‌های سوندaz و ترسیم مقاطع ژئوالکتریک

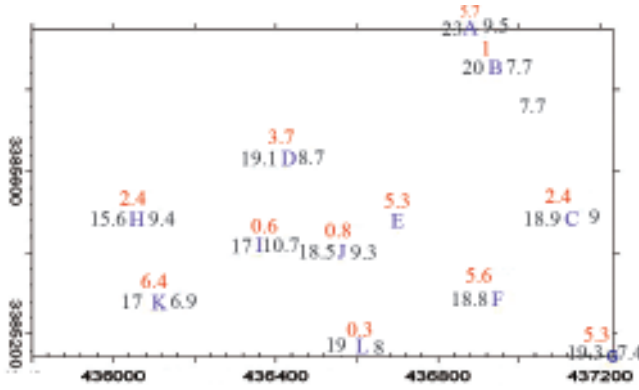
آبغوان

تفسیر منحنی‌های سوندaz، چهار لایه‌ی اصلی را در آبخوان مورد مطالعه

دانه‌ریز تا عمق ۱۸/۵ متری، می‌باشد. لایه‌ی آبدار دانه‌ریز به ضخامت حدود ۹ متر و مقاومت الکتریکی کمتر از یک اهم متر تا عمق حدود ۲۸ متری قرار دارد. مقاومت الکتریکی لایه‌ی سنگ کف مارنی با ضخامت حدود ۳۵ متر به حدود ۷ اهم متر می‌رسد. لایه‌ی کم مقاومت زیر آن در عمق حدود ۶۳ متری قرار دارد.

از تفسیر منحنی‌های سونداز، مقادیر عمق، ضخامت و مقاومت ویژه‌ی الکتریکی آبخوان مورد مطالعه به دست آمد. در تصویر ۷ عمق آب در سمت چپ، ضخامت لایه‌ی آبدار در سمت راست و مقاومت الکتریکی لایه‌ی آبدار در بالای هر سونداز نمایش داده شده است.

عمق تاسطح آب در این آبخوان بین حدود ۱۶ تا ۲۳ مترو به طور متوسط حدود ۱۸/۸ متر است. پایین‌ترین عمق تاسطح آب در شمال غرب منطقه وبالاترین عمق در شمال شرق منطقه اندازه‌گیری شد. ضخامت لایه‌ی آبدار بین حدود ۷ تا ۱۰/۵ متر تغییر می‌کند و به سمت سونداز I تقریباً در مرکز

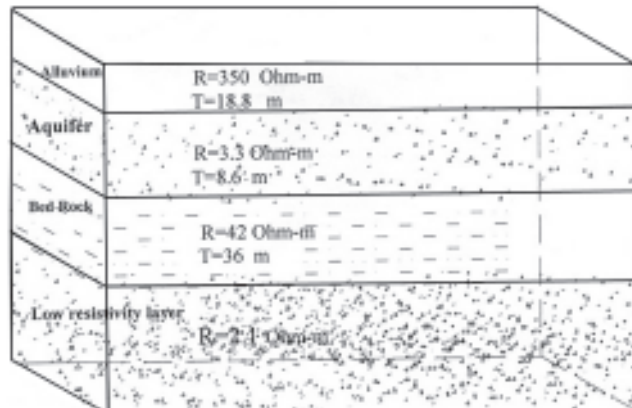


تصویر ۲ - مقادیر عمق، ضخامت و مقاومت ویژه‌ی الکتریکی لایه‌ی آبدار در محل هر سونداز

آبخوان افزایش می‌یابد (تصویر ۸).

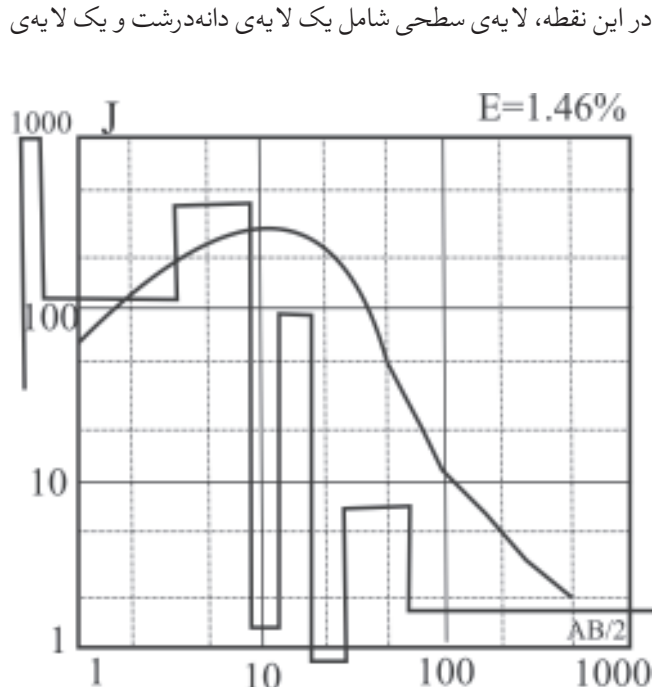
مقاومت ویژه‌ی الکتریکی لایه‌ی آبدار توسط تخلخل، مقدار و کیفیت آب و بافت رسوب کنترل می‌شود. این مقادیر در مرکز آبخوان کاهش می‌یابند که به علت کاهش کیفیت آب زیرزمینی یا کاهش اندازه‌ی دانه‌های تشکیل دهنده‌ی لایه‌ی آبدار می‌باشد. در تصویر ۹ اعداد سمت راست نقاط سونداز، نمایشگر عمق سنگ کف و اعداد سمت چپ بیانگر مقاومت الکتریکی سنگ کف آبخوان می‌باشد.

عمق سنگ کف در این منطقه بین ۲۲/۸ تا ۳۳ مترو مقاومت الکتریکی آن بین ۸/۸ تا ۳۷ اهم متغیر است و در دو نقطه D و E مقاومت الکتریکی (به علت تغییر جنس سنگ کف به آهک مارنی) به ۱۲۰ و ۱۳۱ اهم متر می‌رسد. جنس سنگ کف با توجه به مقادیر مقاومت الکتریکی لایه‌ها، لاگ چاهه‌ای منطقه و بیرون زدگی سنگ‌ها، از نوع سنگ مارن (به جز نقاط D و E که از جنس آهک مارنی می‌باشند) تشخیص داده شد که در نقاط مختلف تراکم آن متفاوت است. این سنگ کف مارنی به صورت یک لنزاگستری محدود، کل منطقه را پوشانده است. اما در عرض‌های جغرافیایی بالاتر منطقه، این لنزاگستری دیده



تصویر ۵ - مدل ژئوالکتریکی آبخوان مورد مطالعه

نگردیده، جنس این لایه به طور یقین مشخص نمی‌باشد. میزان مقاومت الکتریکی این لایه و شواهد زمین‌شناسی منطقه حاکی از این است که این لایه احتمالاً ناشی از فرسایش رسوبات گچساران به همراه مقداری نمک، یا یک لایه‌ی آبدار محبوس دانه‌ریز با کیفیت آب نسبتاً پایین می‌باشد که به دلیل دانه ریز بودن، آبده‌ی آن پایین بوده و حفر چاه در آن مقرن به صرفه نمی‌باشد. مقطع ژئوالکتریک پروفیل سه که پس از تفسیر منحنی‌های سونداز H و I و J و تعیین عمق و مقاومت الکتریکی حقیقی هر لایه ترسیم گردیده، در تصویر ۴ نمایش داده شده است. در تصویر ۵ متوسط مقاومت الکتریکی و متوسط ضخامت هر یک از لایه‌ها در مدل ژئوالکتریکی آبخوان ارائه شده است. در جدول ۲ مقادیر مقاومت حقیقی، ضخامت و عمق لایه‌های ژئوالکتریک حاصل از تفسیر منحنی سونداز I مشاهده می‌گردد. در تصویر ۶ منحنی تفسیر شده‌ی سونداز I توسط نرم افزار IPI7.63، دیده می‌شود. در این نقطه، لایه‌ی سطحی شامل یک لایه‌ی دارشت و یک لایه‌ی آبخوان افزایش می‌یابد (تصویر ۸).



تصویر ۶ - منحنی تفسیر شده‌ی سونداز I

گرادیان واحد از سطح مقطع با عرض واحد و طول معادل ضخامت آبخوان

عبور کرده و به صورت ذیل نمایش داده‌می‌شود:

$$T = K \cdot b \quad (1)$$

۲. هدایت هیدرولیکی به m/s و b ضخامت آبخوان می‌باشد (Todd 1980).

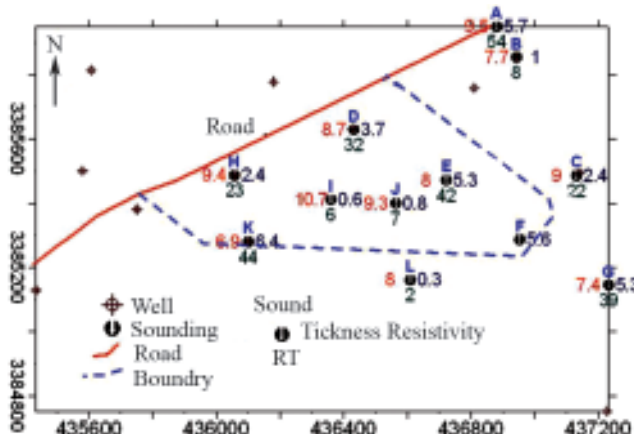
از طرف دیگر طبق تعریفی که (Maillet 1947) از مقاومت عرضی به عنوان یک پارامتر دارزار و ک داشت مقدار مقاومت عرضی برای رابطه ذیل است:

$$A \cdot b \cdot R_T \quad (2)$$

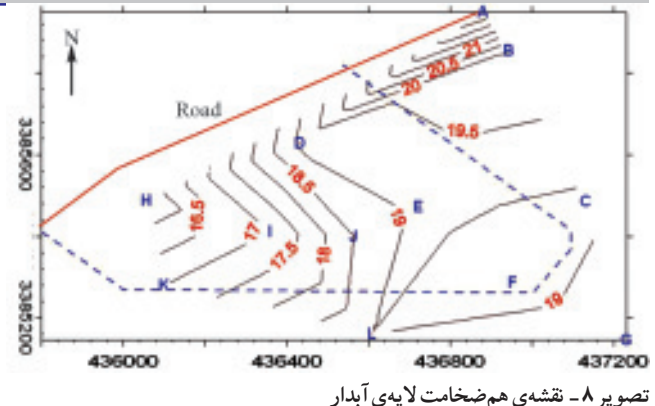
که در آن R_T مقاومت عرضی بر حسب m مقاومت الکتریکی لایه بر حسب b ضخامت آبخوان بر حسب m می‌باشد. همان‌طور که مشخص است رابطه بین K (هدایت هیدرولیکی) و $(A \cdot b \cdot R_T)$ (ضخامت آبخوان لایه‌آبدار) و T (قابلیت انتقال) مانند رابطه بین A (مقادیر عرضی) و R_T (مقادیر عرضی) خطاً است (1981). با تلفیق این دو معادله می‌توان نوشت:

$$T = (K/A)R_T \quad (3)$$

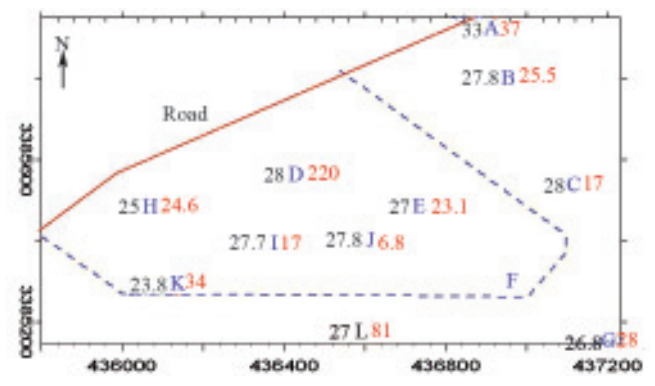
هدایت هیدرولیکی به دانه‌بندی رسوبات وابسته است، اما مقاومت الکتریکی علاوه بر دانه‌بندی به جنس دانه‌ها و خصوصیات آب (غلظت، مقدار، دما و ...) نیز بستگی دارد. چون در یک دشت، رسوبات از تخریب ارتفاعات اطراف حاصل می‌شوند، جنس دانه‌ها در کل دشت یکنواخت فرض می‌شود. اگر هدایت الکتریکی آب نیز در دشت یکنواخت بوده یعنی تفاوت ناچیزی



تصویر ۱۰- مقادیر ضخامت، مقاومت الکتریکی و مقاومت عرضی لایه‌آبدار



تصویر ۸- نقشه‌ی هم‌ضخامت لایه‌ی آبدار



تصویر ۹- مقادیر عمق و مقاومت حقیقی سنگ کف در محل هرسونداز

نمی‌شود و عمق سنگ کف و به طبع آن آبداری چاهها زیادتر می‌شود. با توجه به محدود بودن گسترش لنز مارنی، به احتمال زیاد لایه‌ی آبرفتی در زیر، ادامه دارد. وجود یک لایه‌ی کم مقاومت در زیر لایه‌ی سنگ کف مارنی، بیانگر وجود این لایه است، اما این لایه‌ی آبرفتی (اگریک لایه‌ی آبرفتی) ناشی از فرسایش سازندگ‌سازان حاوی مقداری نمک) و یا یک آبخوان تحت فشار باشد، به صورت دانه‌ریز با آبداری پایین و با کیفیت کم آب و مقاومت الکتریکی کم، می‌باشد و حفر سنگ کف برای رسیدن به این آبخوان مقرر نبوده نمی‌باشد.

۵- نقشه‌ی هم‌ضخامت عرضی و تعیین مناطق با پتانسیل

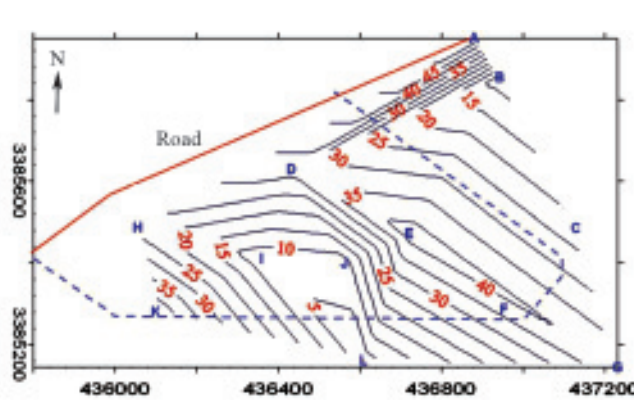
آبداری بالا در آبخوان مورد مطالعه

ضریب قابلیت انتقال آبخوان به طور گسترده‌ای در هیدرولیک آب‌های زیرزمینی به کار گرفته می‌شود و برابر مقدار جريانی از آب است که تحت

جدول ۲- مقادیر مقاومت حقیقی، ضخامت و عمق لایه‌های ژئوکتریک

حاصل از تفسیر منحنی سوندazer

شماره لایه	مقادیر حقیقی	ضخامت	عمق
۱	۱۴۴.۶	۳۳/۲	/۰
۲	۱۱۶	۱۱۱	/۱۲
۳	۱۱۱	۹۱۱	/۱۲
۴	۹۱۱	۹۹/۲	/۱۰
۵	۹۹/۲	۹۹/۲	/۱۰
۶	۹۹/۲	۹۹/۲	/۱۰
۷	۹۹/۲	۹۹/۲	/۱۰
۸	۹۹/۲	۹۹/۲	/۱۰
۹	۹۹/۲	۹۹/۲	/۱۰
۱۰	۹۹/۲	۹۹/۲	/۱۰
۱۱	۹۹/۲	۹۹/۲	/۱۰
۱۲	۹۹/۲	۹۹/۲	/۱۰
۱۳	۹۹/۲	۹۹/۲	/۱۰
۱۴	۹۹/۲	۹۹/۲	/۱۰
۱۵	۹۹/۲	۹۹/۲	/۱۰
۱۶	۹۹/۲	۹۹/۲	/۱۰
۱۷	۹۹/۲	۹۹/۲	/۱۰
۱۸	۹۹/۲	۹۹/۲	/۱۰
۱۹	۹۹/۲	۹۹/۲	/۱۰
۲۰	۹۹/۲	۹۹/۲	/۱۰
۲۱	۹۹/۲	۹۹/۲	/۱۰



تصویر ۱۱- نقشه‌ی هم‌ضخامت عرضی لایه‌ی آبدار (RT) آبخوان مورد مطالعه

الکتریکی ظاهری نسبت به عمق می‌باشد. دلیل این امر وجود لایه‌ی آبدار با مقاومت الکتریکی پایین و نیز لایه‌ی کم مقاومت در زیرسنگ کف مارنی آبخوان است. تقریباً در تمام شبه مقاطع ژئوکتریک، مقاومت الکتریکی ظاهری در خطوط جریان کمتر (که بیشتر تحت تأثیر خاک سطحی قرار دارد)، در سوندazerهای سمت راست پروفیل بیشتر از سایر سوندazerها است که به دلیل درشت دانه بودن رسوبات سطحی در این سوندazerها است.

۳- تفسیر منحنی‌های سوندazer و مدل ژئوکتریکی منطقه‌ی مورد مطالعه نشان می‌دهد چهار لایه‌ی اصلی در این منطقه وجود دارد که عبارتند از:

(الف) لایه‌ی سطحی و آبرفت خشک با ضخامت متوسط ۱۸/۸ متر دارای مقاومت الکتریکی متغیر به طور متوسط حدود ۳۵۰ اهم متر

(ب) لایه‌ی آبدار با مقاومت الکتریکی حدود ۶/۰ تا ۶/۶ اهم متر و به طور متوسط حدود ۳/۳ اهم متر و ضخامت متوسط حدود ۸/۶ متر

(ج) لایه‌ی سنگ کف با عمق متوسط حدود ۲/۷ متر که مقاومت الکتریکی آن در بیشتر نقاط داشت حدود ۸/۸ تا ۱۳/۷ اهم متر می‌باشد ولی مقاومت الکتریکی متوسط آن در کل منطقه حدود ۴۲ اهم متر است.

(د) لایه‌ی کم مقاومت زیر سنگ کف که مقاومت الکتریکی آن به طور متوسط حدود ۱/۲ اهم متر و عمق متوسط آن ۶۳ متر می‌باشد.

۴- مقادیر عمق، ضخامت و مقاومت ویژه‌ی الکتریکی لایه‌ی آبدار نشان می‌دهد

که سطح آب در عمق بین حدود ۱۶ متر تا ۲۳ متر و به طور متوسط حدود ۱۸/۸ متری قرار دارد و به طور کلی به سمت طول و عرض جغرافیایی بیشتر (منطبق بر سوندazer A) این عمق بیشتر می‌شود. ضخامت لایه‌ی آبدار بین حدود ۷ متر تا ۵/۰ متر تغییر می‌کند و به سمت سوندazer I تقریباً در مرکز آبخوان افزایش می‌یابد.

مقادیر مقاومت الکتریکی لایه‌ی آبدار بین حدود ۶/۰ تا ۶/۶ اهم متر متغیر است و در دونقطه‌ی منطبق بر سوندazer I و B به دلیل کاهش کیفیت آب زیرزمینی یا کاهش اندازه‌ی دانه‌های تشکیل دهنده‌ی لایه‌ی آبدار کاهش می‌یابد.

۵- مقادیر عمق و مقاومت الکتریکی سنگ کف منطقه نشان می‌دهد که عمق

سنگ کف بین حدود ۲۵ تا ۳۲ متر متغیر است و به سمت غرب منطقه، کاهش می‌یابد. مقادیر مقاومت الکتریکی سنگ کف از ۸/۶ اهم متر تا حدود ۱۳/۰ اهم

متر در نوسان می‌باشد و به طرف مرکز آبخوان افزایش می‌یابد. جنس سنگ کف با توجه به مقادیر مقاومت الکتریکی لایه‌ها و لاغ‌چاههای منطقه و بیرون‌زدگی سنگ‌های دارکثر نقاط منطقه از نوع سنگ مارن تشخیص داده شده است. این سنگ کف مارنی به صورت یک لنزاگستری محدود، کل منطقه‌ی مورد مطالعه را پوشانده است.

۶- نقشه‌ی هم مقاومت عرضی لایه‌ی آبدار (R) مزرعه‌ی دانشگاه نشان می‌دهد

مقادیر مقاومت عرضی در محل سوندazerهای L, J, I، ۱۰ کمتر از ۱۰ اهم متر مربع بوده و با توجه به توضیحات بالا می‌توان گفت پتانسیل آبداری

لا یه‌ی آبدار، پتانسیل آبداری در این نقاط کم است. بهترین محل برای حفر چاه در منطقه که دارای بیشترین

لایه‌ی آبدار می‌باشد، با توجه به مقادیر ضخامت لایه‌ی آبدار، مقاومت الکتریکی و مقاومت عرضی بالای لایه‌ی آبدار و نیز عدم وجود چاه در کنار آن، محل سوندazer E پیشنهاد می‌گردد.

بین هدایت الکتریکی در نقاط مختلف داشت وجود داشته باشد، می‌توان گفت که مقدار A و K هر دو به دانه‌بندی آبخوان وابسته می‌باشند. در این صورت نسبت K/A در سطح داشت عدد ثابتی خواهد شد، یعنی با افزایش اندازه‌ی دانه‌ها مقدار K و A هر دو افزایش پیدا کرده و نسبت K/A ثابت می‌ماند، در این صورت می‌توان از رابطه‌ی T=(K/A) برای تعیین قابلیت انتقال آبخوان استفاده نمود.

ضریب قابلیت انتقال آبخوان به هر دو عامل مؤثر در میزان آبداری آبخوان یعنی نوع دانه‌بندی و ضخامت آبخوان وابسته است، بنابراین می‌تواند فاکتور مناسبی

برای تعیین پتانسیل آبداری یک آبخوان باشد. به دلیل وجود ارتباط بین مقاومت عرضی (R) و ضریب قابلیت انتقال (T) لایه‌ی آبدار، عموماً نقشه‌های

هم مقاومت عرضی را متناسب با نقشه‌ی ضریب قابلیت انتقال آبخوان در نظر می‌گیرند و از نقشه‌های هم مقاومت عرضی برای تعیین مناطق با پتانسیل آبداری

بالا و مناسب برای حفر چاه استفاده می‌شود (De Oliveria Braga 2006).

در تصویر ۱۰ مقادیر ضخامت لایه‌ی آبدار در سمت چپ سوندazer، مقادیر مقاومت الکتریکی در سمت راست، مقادیر مقاومت عرضی در زیر علامت و نام سوندazer در

بالای علامت مورد نظر مشاهده می‌گردد. در این تصویر چاههای حفر شده نیز نباشد، مشخص نمود. لایه‌ی آبدار آن بیشتر باشد و نزدیک به چاههای حفر شده نیز نباشد، مشخص نمود.

چاههای منطقه در کنار سوندazerهای D و H و K قرار دارند.

نقشه‌ی هم مقاومت عرضی لایه‌ی آبدار (R) نیز در تصویر ۱۱ رایه شده است.

مطابق تصاویر ۱۰ و ۱۱ مقادیر مقاومت عرضی در محل سوندazerهای L, J, I، ۱۰ کمتر از ۱۰ اهم متر مربع بوده و با توجه به توضیحات بالا می‌توان گفت پتانسیل آبداری

در این نقاط کم است. بهترین محل برای حفر چاه در منطقه که دارای بیشترین پتانسیل آبداری می‌باشد، با توجه به مقادیر ضخامت لایه‌ی آبدار، مقاومت الکتریکی و مقاومت عرضی بالای لایه‌ی آبدار و نیز عدم وجود چاه در کنار آن، محل سوندazer E پیشنهاد می‌گردد.

۶- نتیجه‌گیری

به طور خلاصه برخی نتایج حاصل از این پژوهش را می‌توان به صورت ذیل عنوان کرد:

۱- مقایسه‌ی منحنی‌های هم مقاومت ویژه‌ی الکتریکی ظاهری نشان می‌دهد که مقادیر مقاومت الکتریکی ظاهری در منحنی‌های با خط جریان کم، بسیار بیشتر از مقادیر منحنی AB=۸۰m می‌باشد. دلیل این امر این است که منحنی‌های با خط جریان کم بیانگر لایه‌ی سطحی آبرفت خشک هستند و جریان الکتریکی عمده‌ای به وسیله‌ی هدایت از سطح دانه‌ها کنترل می‌شود و منحنی AB=۸۰m نمایشگر لایه‌ی آبدار بوده و هدایت الکتریکی آنها به صورت الکتروولیتی از طریق آب صورت می‌پذیرد. همچنین در هردو منحنی به طرف مرکز آبخوان (منطبق بر سوندazer J) به دلیل درشت دانه ترشدن رسوبات مقادیر مقاومت الکتریکی ظاهری افزایش نشان می‌دهد.

۲- مقایسه‌ی شبیه مقطع ژئوکتریکی پروفیل‌ها بیانگر کاهش مقادیر مقاومت

مراجع

- Kelly, W. E., 1976,** "Geoelectric sounding for delineating ground water contamination", *Ground Water*, Vol. 14(1): 6-11.
- Kelly, W. E. & Stanislav, M., 1993,** "Applied geophysics in hydrogeological and engineering practice", *Elsevier Amsterdam*, 289p.
- Kessels, W., Flentge, I., & Kolditz, H. 1985,** "Dc geoelectric sounding to determine water content in the salt mine asse (FRG)", *Geophys. Prosp., Vol. 33:* 456-446.
- Khalil, M. H., 2006,** "Geoelectric resistivity sounding for delineating salt water intrusion in the Abu Zenima area, west Sinai, Egypt", *J. Geophys. Eng., Vol. 3:* 243-251.
- Kosinski, W. K., & Kelly, W. E., 1981,** "Geoelectric sounding for predicting aquifer properties", *Ground Water*, Vol. 19(2): 163-171.
- Kwader, T., 1985,** "Estimating aquifer permeability from formation resistivity factors", *Ground Water*, Vol. 23(6): 762-766.
- Maillet, R., 1947,** "The fundamental equations of electrical prospecting", *Geophysics*, Vol. 12(4): 529-556.
- Mooney, H. M. & Harold, M., 1980,** "Handbook of engineering geophysics Volume 2: electrical resistivity", *Bison Instruments, Inc., Minneapolis, Minn.*, 81 p.
- Omosuyi, G. O., Adeyemo, A. & Adegoke, A. O., 2007,** "Investigation of groundwater prospect using electromagnetic and geoelectric sounding at Afunbiowo, near Akure, Southwestern Nigeria", *Pacific Journal of Science and Technology (PJST)*, Vol. 8 (2): 172-182.
- Oseji, J. O., Atakpo, E.A. & Okolie, E. C., 2005,** "Geoelectric investigation of the aquifer characteristics and groundwater potential in Kwale, Delta state, Nigeria", *J. Appl. Sci. Environ. Mgt. Vol. 9(1): 157-160.*
- Park, Y., Doh, S. & Yun, S., 2007,** "Geoelectric resistivity sounding of riverside alluvial aquifer in an agricultural area at Buyeo, Geum River watershed, Korea: An application to groundwater contamination study", *Environ. Geol. J., Vol. 53(4): 849-859.*
- Niwas, S., & Singhal, D. C., 1981,** "Estimation of aquifer transmissivity from Dar-Zarrouk parameters in porous media", *J. of Hydrol., Vol. 50:* 393-399.
- Todd, D. K., 1980,** "Groundwater hydrology", 2nd ed. John Wiley, New York, 539p.
- Yadav, G. S., 1995,** "Relating hydraulic and geoelectric parameters of the Jayant aquifer, India", *J. of Hydrol., Vol. 167:* 23-38.
- Yadav, G. S. & Abolfazli, H., 1998,** "Geoelectric soundings and their relationship to hydraulic parameters in semiarid regions of Jalore, northwestern India", *J. Appl. Geophysics*, Vol. 39: 35-51.
- Yang, Ch. & Lee, W., 1998,** "Using resistivity sounding and geostatistics to aid in hydrogeological studies in the Choshuichi alluvial fan, Taiwan", *Institute of Applied Geology, National Central University, Taiwan*, 40 (2): 65-73.
- Zohdy, A. A. R., Eaton, G. P. & Mabey, D. R., 1974,** "Application of surface geophysics to ground-water investigations", *U.S. geological survey, Techniques of water-Resources Investigation, Book 2, Chap. D1*, 116p.
- Apparao, A. & Rao, T. G., 1974,** "Depth of investigation in resistivity methods using linear electrodes", *Geophys. Prosp., Vol. 22:* 211-223.
- Akaolisa, C., 2006,** "Aquifer transmissivity and basement structure determination using resistivity sounding at Jos plateau State Nigeria", *Environmental Monitoring and Assessment, Vol. 114 (1-3): 1-3.*
- Asfahan, J., 2007,** "Neogene aquifer properties specified through the interpretation of electrical sounding data, Salamiyah region, central Syria", *Hydrologi. Processes, Vol. 21 (21): 2934-2943.*
- Ayers, J. F., 1990,** "Conjunctive use of geophysical and geological data in the study of an alluvial aquifer", *Ground Water, Vol. 27 (5): 625-632.*
- Bello, A. A. & Makinde, V., 2007,** "Delineation of the aquifer in the south-western part of the Nupe basin, Kwara state, Nigeria", *J. of Am. Sci., Vol. 3(2): 36-44.*
- Çaglara, I. & Duvarci, E., 2001,** "Geoelectric structure of inland area of the Gökova rift, southwest Anatolia and its tectonic implications", *J. of Geodyn., Vol. 31 (1): 33-48.*
- Danielsen, J., Dahlin, T., Owen, R., Manganya, P. & Auken, E., 2007,** "Geophysical and hydrogeologic investigation of groundwater in the Karoo stratigraphic sequence at Sawmills in northern Matabeleland, Zimbabwe: A case history", *Hydrogeology J., Vol. 15(5): 945-960.*
- De Oliveira Braga, A. C., Filho, W. M. & Dourado, J. C., 2006,** "Resistivity (DC) method applied to aquifer protection studies", *Revista Brasileira de Geofísica*, Vol. 24 (4): 573-581.
- El-Qady, G., 2006,** "Exploration of a geothermal reservoir using geoelectrical resistivity inversion: case study at Hammam Mousa, Sinai, Egypt", *J. Geophys. Eng., Vol. 3:* 114-121.
- El-Waheidi, M. M., Merlanti, F. & Pavan, M., 1992,** "Geoelectrical resistivity survey of the central part of Azraq basin (Jordan) for identifying saltwater/freshwater interface", *J. Appl. Geophysics, Vol. 29:* 125-133.
- Frohlich, R. K. & Kelly, W. E., 1988,** "Estimates of specific yield with the geoelectrical resistivity method in glacial aquifers", *J. of Hydrol., Vol. 97:* 33-44.
- Frohlich, R. K. & Parke, C. D., 1989,** "The electrical resistivity of vadose zone – field survey", *Ground Water, Vol. 27 (4): 524-530.*
- Heilan, C. A., 1940,** "Geophysical exploration", *Prentice Hall, New York, N.Y.* 264p.
- Huntley, D., 1980,** "Relations between permeability and electrical resistivity in granular aquifers", *Ground Water, Vol. 24(4): 466-474.*
- Jackson, P. N., Taylor Smith, D. & Stanford, P. N., 1978,** "Resistivity- porosity- particle shape relationships for marine sands", *Geophysics, Vol. 43(6): 1250-1268.*
- Kalinski, R. J., Kelly, W. E., Bogardi, I., & Pesti, G. 1993,** "Electrical resistivity measurements to estimate travel times through unsaturated ground water protective layers", *J. Appl. Geophysics, Vol. 30:* 161-173.